

بِسْمِ اللَّهِ الرَّحْمَنِ الرَّحِيمِ  
صَلَوةً عَلَى مُحَمَّدٍ وَآلِهِ وَسَلَامٌ عَلَى أَعْلَمِ الْأَعْلَامِ

١٩٩٩/١



دانشگاه تربیت معلم تهران

دانشکده علوم

گروه فیزیک

پایان نامه کارشناسی ارشد

رشته فیزیک (اتمی و مولکولی)

بررسی پاسخ اپتیکی غیرخطی رنگینه های آلی با استفاده از  
از تکنیک تداخل سنجی ماره و جاروب-Z

نگارش :

۱۴۴۹/۸/۲

سمیه کورکی نجات

استاد راهنمای :

دکتر محمد حسین مجلس آرا

آسفند ۸۸

سچه دیده های مدنگی  
شبیه ملک



## دانشگاه تربیت معلم

### صورتجلسه دفاع از رساله دکترا / پایان نامه کارشناسی ارشد

رساله دکترا

جلسه دفاع از \_\_\_\_\_  
خانم سمیه کورکی نجات دانشجوی رشته فیزیک  
پایان نامه کارشناسی ارشد

دانشکده: علوم پایه

گرایش: اتمی - مولکولی

تحت عنوان بررسی پاسخ اپتیکی غیر خطی رنگینه های آلی با استفاده از تداخل سنجی ماره و جاروب - ۲  
در ساعت ۱۶ روز سه شنبه مورخ ۸۸/۱۲/۴ در محل گروه فیزیک تهران با حضور اعضاء کنندگان زیر تشکیل شد.

۱- استاد راهنما: دکتر محمدحسین مجلس آرا

۲- استاد راهنما: -

۳- استاد مشاور: -

۴- نماینده تحصیلات تکمیلی: دکتر محمدحسین مجلس آرا

۵- عضو هیأت علمی (داور خارجی): دکتر بنانج سعید

۶- عضو هیأت علمی (داور داخلی): دکتر جعفر جهان پنام

خانم سمیه کورکی نجات خلاصه کارهای تحقیقاتی خود را ارائه نمود و بس از پرسش و پاسخ، هیأت داوران کار  
تحقیقاتی خانم سمیه کورکی نجات را در سطح ۱۱۷-۱۹ ارزشیابی نموده و برای نامبرده نمره ۱۹۰۵ را منظور نموده است.

رئیس گروه / دانشکده

## فهرست مطالب

۱	چکیده
۲	فصل اول: آشنایی با اپتیک غیرخطی
۳	۱-۱. مقدمه
۴	۱-۲. مواد اپتیکی خطی
۵	۱-۳. پیش درآمدی بر اپتیک غیرخطی
۱۰	فصل دوم: پدیده های مؤثر در پاسخ غیرخطی نوری
۱۱	۱-۲. اثرهای خودکنش
۱۶	۲-۲. اثر کر اپتیکی
۱۹	۳-۲. ضریب جذب غیرخطی (NLA) و ضریب شکست غیرخطی (NLR)
۲۱	۴-۲. جذب دو فoton (TPA)
۲۳	۴-۲-۱. جذب دو فوتونی حاصل از یک پرتوی منفرد
۲۴	۴-۲-۲. جذب دو فوتونی حاصل از دو پرتو
۲۴	۴-۲-۳. جذب چند فوتونی حاصل از یک پرتو
۲۶	۵-۲. جذب قابل اشباع (SA)
۲۸	۶-۲. اثرنور شکست
۲۹	۶-۲-۱. انظریه کوختاروف
۳۳	۷-۲. محدود کنندگی نوری
۳۵	۷-۲-۱. محدود کنندگی بوسیله جذب غیرخطی
۳۸	۷-۲-۲. محدود کنندگی بوسیله شکست غیر خطی
۴۰	فصل سوم: بررسی آثار غیرخطی در مواد رنگینه ای
۴۱	۱-۳. علت پیداپش آثار غیرخطی در مواد رنگینه ای
۴۲	۲-۳. اوربیتال های هیبریدی

۳-۳. اوربیتال های مولکولی	۴۴
۴-۴. اوربیتال های مولکولی در اجزاء چند اتمی	۴۶
۳-۵-۱. بررسی ساختار شیمیایی مواد رنگینه ای مورد آزمایش قرار گرفته در این کار	۴۸
۴-۵-۲. رنگینه آلی (Fast Green FCF)	۴۹
۴-۵-۳. رنگینه آلی (Erioglaucine)	۵۰
۴-۵-۴. رنگینه آلی (Patent Green)	۵۱
<b>فصل چهارم: روش های آزمایش</b>	<b>۵۲</b>
۴-۱. ماره چیست؟	۵۳
۴-۲. تاریچه ماره	۵۵
۴-۳. پدیده خود-تصویر و روش تداخل سنجی ماره	۵۸
۴-۴. اندازه گیری ضریب شکست غیر خطی با استفاده از تداخل سنجی ماره در چیدمان پمپ-کاوشگر	۶۱
۴-۵. اندازه گیری ضریب شکست غیر خطی با استفاده از تداخل سنجی ماره انتقالی	۶۴
۴-۶. جاروب-Z	۶۸
۴-۶-الف. جاروب-Z با روزنه‌ی بسته	۶۹
۴-۶-ب. جاروب-Z با روزنه‌ی باز	۷۸
۴-۷. اندازه گیری قطر پرتوی لیزر	۸۲
<b>فصل پنجم: نتایج تجربی</b>	<b>۸۵</b>
۵-۱-۱. اندازه گیری شعاع پرتو لیزر He-Ne با استفاده از روش جاروب لبه	۸۶
۵-۱-۲. اندازه گیری شعاع پرتو لیزر Nd-Yag با استفاده از روش جاروب لبه	۸۸
۵-۲. اندازه گیری ضرایب غیر خطی Fast Green FCF	۸۹
۵-۲-۱. اندازه گیری ضریب شکست غیر خطی Fast Green FCF با تداخل سنجی ماره در چیدمان پمپ-کاوشگر	۹۰

۲-۲-۵ . اندازه گیری ضریب شکست غیر خطی Fast GreenFCF با استفاده از چیدمان	۹۴
تداخل سنجی ماره انتقالی.....	
۹۷ ..... ۲-۳-۵ اندازه گیری ضرایب غیرخطی Fast Green FCF به روش جاروب-Z	
۹۹ ..... ۲-۳-۵-الف. اندازه گیری ضریب شکست غیر خطی Fast Green FCF به روش جاروب-Z با روزنہ بسته.....	
۱۰۱ ..... ۲-۳-۵-ب: اندازه گیری ضریب جذب غیرخطی Fast Green FCF به روش جاروب-Z با روزنہ باز.....	
۱۰۳ ..... ۳-۵ . اندازه گیری ضرایب غیرخطی اسید آبی (Erioglaucine)۹	
۱۰۳ ..... ۳-۵-۱. اندازه گیری ضریب شکست غیر خطی Erioglaucine با تداخل سنجی ماره در چیدمان پمپ-کاوشگر.....	
۱۰۶ ..... ۳-۵-۲. اندازه گیری ضریب شکست غیرخطی Erioglaucine به روش تداخل سنجی ماره انتقالی.....	
۱۰۸ ..... ۳-۵-۳-اندازه گیری ضرایب غیرخطی Erioglaucine به روش جاروب -Z.....	
۱۰۹ ..... ۳-۵-۳-الف. اندازه گیری ضریب شکست غیرخطی Erioglaucine به روش جاروب-Z با روزنہ بسته.....	
۱۱۱ ..... ۳-۵-۳-ب . اندازه گیری ضریب جذب غیر خطی Erioglaucine به روش جاروب-Z با روزنہ باز.....	
۱۱۲ ..... ۴-۵اندازه گیری ضرایب غیر خطی Patent Green	
۱۱۳ ..... ۴-۵-۱. اندازه گیری ضریب شکست غیر خطی Patent Green با تداخل سنجی ماره در چیدمان پمپ-کاوشگر.....	
۱۱۵ ..... ۴-۵-۲. اندازه گیری ضریب شکست غیر خطی Patent Green با تداخل سنجی ماره انتقالی.....	
۱۱۶ ..... ۴-۵-۳-اندازه گیری ضرایب غیرخطی Patent Green به روش جاروب-Z.....	
۱۱۸ ..... ۴-۵-۴-الف. اندازه گیری ضریب شکست غیرخطی Patent Green به روش جاروب-Z با روزنہ بسته.....	

۱۱۹	باز	۴-۵-۲-ب. اندازه گیری ضریب شکست غیرخطی Patent Green به روش جاروب-Z با روزنه
۱۲۱	نتیجه گیری	
۱۲۲	محاسبه خطای	
۱۲۳	پیشنهادات	
۱۲۴	فهرست مراجع	

تقدیم به یگانه منجی عالم

که تمام شکوفایی و نوآوری عالم با ظهورش تحقق خواهد یافت.

عاشق که شد که یار به حالش نظر نکرد

ای خواجه درد نیست و گزنه طبیب هست

بار خدایا! سپاس توراست ای معبد هر پرستش شده و ای آفریدگار هر آفریده شده.

تورا سپاس، سپاسی که به همیشگی تو بپیوندد و پابرجا باشد.

تورا سپاس، سپاسی که با سپاس هر سپاسگزاری همراه باشد.

تورا سپاس، سپاسی که با گذشت زمان‌ها چند برابر گردیده و به چند برابر پیاپی افزون شود.

سپاس از پدر و مادر عزیزم که مهربانیشان را نهایتی نیست آنانکه در تمامی لحظات زندگی حامی و پشتیبانم بوده‌اند. بوسه بر دستان پر مهرشان می‌زنم که جوانیم به قیمت پیریشان تمام شد.

سپاس از یار و یاورم، همسر و همراه مهربانم که با برداشتن و فداکاری به من این فرصت را دادند تا با آرامش خاطر به تحقیق پردازم.

سپاس از تک تک اعضای خانواده‌ام و خانواده‌گرامی همسرم که مهر و محبت خود را هیچ‌گاه از من دریغ نکرددند.

سپاس از استاد بزرگوار و فرهیخته‌ام دکتر مجلس آرا که بی حضور ایشان این پایان نامه راه به جایی نمی‌برد.

و سپاس از تمامی دوستانی که در آزمایشگاه فوتونیک مرا یاری نمودند.

## چکیده

در این پایان نامه ویژگی های اپتیکی غیرخطی چند رنگینه آلی با نام های Fast Green FCF مورد بررسی قرار گرفت. بدليل اينكه در الکترون های اين مواد پيوند  $\pi$  وجود داشته و اين پيوندها دارای قطبیدگی بالايی هستند و پاسخ غیرخطی اين مواد در برهmeknesh با نور بالا است.

ابتدا با استفاده از تکنيک تداخل سنجی ماره با دوچيدمان پمپ و کاوشگر و انتقالی برای اولين بار ضريب شکست غیرخطی مرتبه دوم اين مواد اندازه گيري شد و سپس برای اطمینان از صحت نتیجه حاصله و همچنين بدست آوردن ضريب جذب غیرخطی و بررسی رفتار محدودکنندگی اپتیکی اين مواد روش متداول جاروب-Z بكار رفته است. اندازه گيري های تداخل سنجی ماره با چيدمان پمپ-کاوشگر تحت تابش ليزرهای پيوسته (He-Ne( $\lambda=632.8\text{nm}$ ) به عنوان پرتو پرتوی پمپ و Nd-Yag( $\lambda=532.5\text{nm}$ ) به عنوان پرتوی کاوشگر به کار می رود و اندازه گيري های تداخل سنجی ماره انتقالی و جاروب-Z با ليزr پيوسته (Nd-Yag( $\lambda=532.5\text{nm}$ ) و برای غلظت های مختلف از اين مواد رنگينه ای صورت گرفته است.

**کليد واژه:** مواد آلی رنگينه ای ، تداخل سنجی ماره با چيدمان پمپ-کاوشگر، تداخل سنجی ماره انتقالی ، روش جاروب-Z ، ضريب شکست غیرخطی مرتبه دوم ، ضريب جذب غیرخطی ، رفتار محدودکنندگی اپتیکی.

فصل اول:

## آشنایی با اپتیک غیرخطی

## ۱-۱. مقدمه

اپتیک غیرخطی مطالعه پدیده هایی است که به دلیل تغییر در خواص اپتیکی مواد به وسیله حضور نور در آن ماده رخ می دهدند. خاصیت خطی یا غیرخطی بودن ، مربوط به محیطی است که نور در آن منتشر می شود . تمام محیط ها دارای اثرات غیرخطی هستند. حتی فوتون هایی که در فضای خلاء با هم برهمنکش دارند دارای این اثر هستند اما غیرخطی بودن آنقدر کوچک است که با شدت نور معمولی پدیده های غیرخطی قابل مشاهده نیستند. تنها نور لیزر برای تغییر در خاصیت اپتیکی مواد کفایت می کند.

شروع زمینه غیرخطیت مدتی بعد از اینکه میمن<sup>۱</sup> در سال ۱۹۶۰ لیزر را اختراع کرد، با کشف هماهنگ دوم SHG<sup>۲</sup> توسط فرانکین (۱۹۶۱) بود.

پاسخ های غیرخطی اپتیکی در مواد، امروزه کاربردهای بسیاری پیدا کرده است. از جمله می توان به ساخت ابزارهای اپتو-الکترونیکی، ساخت کلید های نوری، پردازش کاوشگرهای نوری و محدود کننده های اپتیکی اشاره کرد. نوع رفتار غیرخطی در هر ماده با توجه به ساختار اتمی و ترکیب آن متفاوت است. فرآیندهای مختلفی ممکن است عامل ایجاد پاسخ های غیرخطی در مواد اپتیکی باشد. برخی از آنها عبارت است از :

- قطبش الکترونیکی
- اثر اپتیکی استارک
- تغییرات در ویژگیهای فیزیکی از جمله دما، غلظت و ...
- برهمنکش با یک باریکه نوری و پاسخ غیرخطی ماده با دامنه میدان

بیشتر مواد ممکن است بیش از یک یا چند فرآیند در آنها باعث ایجاد اثرات غیرخطی گردد. از این رو علم اپتیک غیرخطی، بسیار گسترده است. در این فصل ما قصد داریم تنها با یک نگاه اجمالی به رفتارهای آنها بپردازیم.

<sup>1</sup>Meiman

<sup>2</sup>Second Harmonic Generation

در مطالعه فرآیندهای اپتیکی در مواد می بایست از یک دیدگاه نیمه کلاسیکی استفاده کنیم چرا که فoton ها با توجه به روابط ماکسول رفتاری کلاسیکی داشته در حالیکه الکترون- حفره های رفتاری کوانتموی دارند پس تکیه بر دیدگاه کاملاً کلاسیکی نمی تواند در بررسی آنها چندان مفید باشد.[۱]

### ۱-۲. مواد اپتیکی خطی

برای توضیح نظری این دسته مواد ابتدا انتشار یک موج تخت در یک محیط همگن همسانگرد را بررسی می کنیم. با فرض اینکه موج تخت در راستای محور Z منتشر شود، گذردهی الکتریکی ( $\epsilon$ ) و مغناطیسی ( $\mu$ ) ثابت هستند داریم:

$$\vec{E} = \hat{E} e^{i(\vec{k} \cdot \vec{r} - wt)} = E_0 e^{i(kz - wt)} \quad (۱-۱\text{-الف})$$

$$\vec{B} = \hat{B} e^{i(\vec{k} \cdot \vec{r} - wt)} = B_0 e^{i(kz - wt)} \quad (۱-۱\text{-ب})$$

سرعت موج عبارت است از:

$$V = \frac{w}{k} = \frac{1}{\sqrt{\mu\epsilon}} = \frac{c}{n} \quad (۲-۱)$$

که  $n$  ضریب شکست می باشد و  $c$  سرعت نور در خلاء است. در جاییکه  $\mu = \mu_0$  باشد داریم :

$$n = \sqrt{\frac{\epsilon}{\epsilon_0}} = \frac{c}{v} \quad (۳-۱)$$

با توجه به رابطه قطبش در یک محیط می توان نوشت:

$$\vec{p} = \epsilon_0 \chi \vec{E} \quad (۴-۱)$$

که  $\chi$  پذیرفتاری الکتریکی می باشد. حال مقدار بردار جابجایی الکتریکی برابر است با:

$$\vec{D} = \epsilon \vec{E} = \epsilon_0 \vec{E} + \vec{p} = \epsilon_0 (1 + \chi) \vec{E} \quad (۵-۱)$$

که در رابطه فوق  $n = \sqrt{\frac{\epsilon}{\epsilon_0}} = \sqrt{1 + \chi}$  و  $\epsilon = \epsilon_0 (1 + \chi)$  می باشد.

با فرض خطی بودن محیط های نوری، نتایج زیر به دست می آید:

۱. اصل برهمنهی که از اصول کلاسیک است، صادق می باشد.

۲. بسامد نور با عبور از محیط ثابت می‌ماند.
۳. ضریب جذب و ضریب شکست مستقل از شدت موج فرودی است.
۴. دو باریکه نور در چنین محیطی با هم برهمنکش ندارند.

در این محدوده قطبش به طور خطی به میدان الکتریکی وابسته است. [۱] و [۱۵]

۱-۳. پیش درآمدی بر اپتیک غیرخطی  
محیط غیرخطی محیطی است که در آن قطبش، رابطه غیرخطی با میدان الکتریکی نور دارد.  
در محدوده اپتیک غیرخطی روابط قبل دیگر برقرار نیست. قبل از هرچیز برای درک مفاهیم  
غیرخطی و علت ظهور آنها در مواد لازم است معادلات ماکسول را بررسی کنیم. باید توجه داشته  
باشیم که معادلات ماکسول تنها قادر به توجیه نیمی از پدیده‌های غیرخطی است و نشان می‌دهد که  
چگونه یک قطبش غیرخطی منجر به تولید یک موج دیگر می‌شود و چگونگی تولید قطبش را نشان  
نمی‌دهد. این معادلات عبارتند از:

$$\vec{\nabla} \cdot \vec{D} = \rho \quad (1-6\text{-الف})$$

$$\vec{\nabla} \cdot \vec{B} = 0 \quad (1-6\text{-ب})$$

$$\vec{\nabla} \times \vec{H} = \vec{J} + \frac{\partial \vec{D}}{\partial t} \quad (1-6\text{-ج})$$

$$\vec{\nabla} \times \vec{E} + \frac{\partial \vec{B}}{\partial t} = 0 \quad (1-6\text{-د})$$

که در آن  $\vec{B}$  القای مغناطیسی،  $\vec{E}$  میدان مغناطیسی و  $\vec{D}$  جابجایی الکتریکی است.  $J$  و  $\rho$  به ترتیب  
چگالی جریان و چگالی بار می‌باشند که این دو کمیت توسط رابطه پیوستگی  $\vec{\nabla} \cdot \vec{J} + \frac{\partial \rho}{\partial t} = 0$  به  
هم مربوط می‌شوند. با استفاده از رابطه پیوستگی داریم:

$$\vec{\nabla} \cdot (\epsilon_0 \vec{E} + \vec{P}) = \rho_{\text{free}} \quad (1-7\text{-الف})$$

$$\vec{\nabla} \cdot \vec{P} = -\rho_{\text{bound}} \quad (1-7\text{-ب})$$

شار انرژی الکترومغناطیسی در واحد سطح توسط بردار پوینتینگ  $\vec{S}$  داده می شود:

$$\vec{S} = \vec{E} \times \vec{H} \quad (8-1)$$

مقدار متوسط  $\vec{S}$  (میانگین زمانی روی دوره های نوسانات اپتیکی) ، برابر با شدت در واحد  $(\frac{W}{m^2})$  می باشد.

$$I = |\langle \vec{E} \times \vec{H} \rangle| \quad (9-1)$$

اگر میدان های اپتیکی بصورت امواج تخت با بردار موج انتشار  $\vec{k}$  باشند . یعنی داشته باشیم :

$$\vec{E} = Re(\vec{E}_0 e^{i(\vec{k} \cdot \vec{r} - wt)}) \quad (10-1\text{-الف})$$

$$\vec{H} = Re(\vec{H}_0 e^{i(\vec{k} \cdot \vec{r} - wt)}) \quad (10-1\text{-ب})$$

به سادگی می توان نشان داد که در خلاء رابطه زیر برقرار است:

$$\vec{H} = \frac{\vec{B}}{\mu_0} = \frac{\hat{k} \times \vec{E}}{c\mu_0} \quad (11-1)$$

که در آن  $\hat{k}$  بردار یکه در جهت  $\vec{k}$  (جهت انتشار موج) می باشد و از روی آن میانگین زمانی بردار پوینتینگ بصورت زیر حاصل می شود :

$$\langle \vec{S} \rangle = \frac{1}{2} \sqrt{\frac{\epsilon_0}{\mu_0}} |\vec{E}|^2 \hat{k} \quad (12-1)$$

در محیط خطی همسانگرد  $\epsilon_0$  و  $\mu_0$  به ترتیب با  $\epsilon$  و  $\mu$  جایگزین می شوند . اما در صورتیکه محیط ناهمسانگرد باشد روابط پیچیده تر خواهد بود .

با توجه به آنچه که تا کنون گفته شده ایم از این میانگین میانگین زمانی به شکل زیر می باشد:

$$u = u_e + u_m = \frac{1}{2} \vec{D} \cdot \vec{E} + \frac{1}{2} \vec{B} \cdot \vec{H} \quad (13-1)$$

که اندیس های  $e$  و  $m$  به ترتیب نشان دهنده سهم الکتریکی و مغناطیسی هستند. همچنین امواج الکترومغناطیسی حامل اندازه حرکت و چگالی اندازه حرکت نیز می باشند.

$$\vec{p} = \epsilon_0 \vec{E} \times \vec{B} = \mu_0 \epsilon_0 \vec{S} \quad (14-1)$$

جواب معادلات (7-1)، اگر  $\vec{E}$  یک موج تخت تکفام در یک محیط خطی باشد، برابر است با:

$$\vec{P}(\vec{r}, t) = \epsilon_0 \int_{-\infty}^{+\infty} \chi^{(1)}(\vec{r} - \vec{r}', t - t') \cdot \vec{E}(\vec{r}', t') d\vec{r}' dt' \quad (15-1)$$

که  $\chi^{(1)}$  پذیرفتاری خطی می باشد.

اگر  $\vec{E}$  یک موج تخت تکفام بصورت زیر باشد،

$$\vec{E}(\vec{r}, t) = \vec{E}(\vec{k}, w) = \vec{\epsilon}(\vec{k}, w) \exp[i(\vec{k} \cdot \vec{r} - wt)] \quad (16-1)$$

با استفاده از تبدیل فوریه خواهیم داشت :

$$\vec{P}(\vec{r}, t) = \vec{P}(\vec{k}, w) = \epsilon_0 \chi^{(1)}(\vec{k}, w) \cdot \vec{E}(\vec{k}, w) \quad (17-1)$$

که در آن :

$$\chi^{(1)}(\vec{k}, w) = \int_{-\infty}^{+\infty} \chi^{(1)}(\vec{r}, t) e^{-i(\vec{k} \cdot \vec{r} - wt)} d\vec{r} dt \quad (18-1)$$

ثابت دی الکتریک خطی  $(\vec{k}, w)$  با  $\chi^{(1)}(\vec{k}, w)$  بصورت زیر مرتبط می باشد:

$$\epsilon_D(\vec{k}, w) = \epsilon_0 (1 + \chi^{(1)}(\vec{k}, w)) \quad (19-1)$$

در وضعیت غیرخطی، هنگامی که  $\vec{E}$  به اندازه کوچک کافی باشد، می توان قطبش  $\vec{P}$  را که تابعی از  $\vec{E}$  است بصورت یک سری توانی بر حسب  $\vec{E}$  بسط داد:

$$\vec{P}(\vec{r}, t) = \varepsilon_0 \int_{-\infty}^{+\infty} \chi^{(1)}(\vec{r} - \vec{r}_1, t - t_1) \cdot \vec{E}(\vec{r}_1, t_1) d\vec{r}_1 dt_1 + \quad (20-1)$$

$$\varepsilon_0 \int_{-\infty}^{+\infty} \chi^{(2)}(\vec{r} - \vec{r}_1, t - t_1; \vec{r} - \vec{r}_2, t - t_2) : \vec{E}(\vec{r}_1, t_1) \vec{E}(\vec{r}_2, t_2) d\vec{r}_1 d\vec{r}_2 dt_1 dt_2$$

$$+ \varepsilon_0 \int_{-\infty}^{+\infty} \chi^{(3)}(\vec{r} - \vec{r}_1, t - t_1; \vec{r} - \vec{r}_2, t - t_2; \vec{r} - \vec{r}_3, t - t_3) : \vec{E}(\vec{r}_1, t_1) \vec{E}(\vec{r}_2, t_2) \vec{E}(\vec{r}_3, t_3) d\vec{r}_1 d\vec{r}_2 d\vec{r}_3 dt_1 dt_2 dt_3 \dots$$

رابطه فوق با یک تبدیل فوریه به شکل زیر در می آید:

$$\vec{P}(\vec{k}, w) = \vec{P}^{(1)}(\vec{k}, w) + \vec{P}^{(2)}(\vec{k}, w) + \vec{P}^{(3)}(\vec{k}, w) + \dots \quad (21-1)$$

که در آن

$$\vec{P}^{(1)}(\vec{k}, \omega) = \varepsilon_0 \chi^{(1)}(\vec{k}, \omega) \cdot \vec{E}(\vec{k}, \omega) \quad (22-1)$$

$$\vec{P}^{(2)}(\vec{k}, \omega) = \varepsilon_0 \chi^{(2)}(\vec{k} = \vec{k}_i + \vec{k}_j, \omega = \omega_i + \omega_j) : \vec{E}(\vec{K}_i, \omega_i) \vec{E}(\vec{k}_j, \omega_j) \quad \text{و}$$

$$\vec{P}^{(3)}(\vec{k}, \omega) = \varepsilon_0 \chi^{(3)}(\vec{k} = \vec{k}_i + \vec{k}_j + \vec{k}_l, \omega = \omega_i + \omega_j + \omega_l) \quad \text{و}$$

$$: \vec{E}(\vec{K}_i, \omega_i) \vec{E}(\vec{k}_j, \omega_j) \vec{E}(\vec{k}_l, \omega_l)$$

همانطوری که قبلاً گفته‌یم  $\chi^{(1)}$  پذیرفتاری خطی،  $\chi^{(2)}$  و  $\chi^{(3)}$  پذیرفتاری مرتبه دوم و سوم هستند.

$\varepsilon_0 \chi^{(2)} E$ . اثر مرتبه اول میدان است و قطبش خطی را ایجاد کرده و یک تانسور مرتبه دوم است.

$\varepsilon_0 \chi^{(2)} E^2$ . اثر مرتبه دوم میدان است و جزء جملات قطبش غیرخطی است و  $\chi^{(2)}$  یک تانسور

مرتبه سوم است در موادی که قادر تقارن وارونی باشند رخ می دهد عامل ایجاد فرایند هایی مثل

تولید هماهنگ دوم SHG یکسازی اپتیکی، اثر پوکلز، تقویت یا تضعیف پارامتریک است.

$\varepsilon_0 \chi^{(3)} E^3$ . اثر مرتبه سوم میدان است، باز هم از جملات قطبش غیرخطی است و  $\chi^{(3)}$  یک

تانسور مرتبه سوم است در وجود آمدن پدیده هایی مثل تولید هماهنگ سوم، اثر کر، همیوغ فاز

اپتیکی اختلاط چارموجی ، پراکنده‌گی رامان و پراکنده‌گی بربلوزن نقش دارد در ضمن  $\chi^{(3)}$  یک تansور مرتبه چهارم با ۸۱ مؤلفه است.

و به طور کلی مشابه رابطه (۱-۱۷) می‌توان نوشت:

$$\chi^{(n)}(\vec{k}_1 + \dots + \vec{k}_2, \omega_1 + \dots + \omega_2) = \int_{-\infty}^{+\infty} \chi^{(n)}(\vec{r} - \vec{r}_1, t - t_1; \dots \vec{r} - \vec{r}_n, t - t_n) e^{-i[\vec{k}_1 \cdot (\vec{r} - \vec{r}_1) - \omega_1(t - t_1) + \dots + \vec{k}_n \cdot (\vec{r} - \vec{r}_n) - \omega_n(t - t_n)]} \times d\vec{r}_1 d\vec{r}_2 \dots d\vec{r}_n dt_1 dt_2 \dots dt_n \quad (23-1)$$

اگر پذیرفتاری مرتبه  $n$  ام ( $\chi^{(n)}$ ) برای یک ماده مشخص باشد ، آنگاه اثرات اپتیکی مرتبه  $n$  ام در آن محیط نیز با استفاده از معادلات ماکسول قابل پیش بینی خواهد بود. به طور کلی پذیرفتاری مرتاب بالاتر فقط هنگامی دارای اهمیت می‌باشد که میدان الکتریکی قوی باشد. در روابط فوق به وضوح مشخص است که  $\chi^{(n)}$  با توان  $n$  ام میدان  $[E(n)]^n$  متناسب است.

بررسی هر جمله از بسط  $\chi^{(n)}$  به ساختار میکروسکوپی محیط مرتبط است و ارزیابی آن نیاز به محاسبات پیچیده کوانتمومی دارد ، اما بعضی در بسیاری از موارد مدل‌های کلاسیکی ساده بسیار مفید هستند و می‌توانند منشاء رفتار اپتیکی غیرخطی را در مواد نشان دهند.

با توجه به مشاهده غیرخطیت در قطبش می‌توانیم فیزیک بعضی پدیده‌های غیرخطی را به وسیله قطبش و یا پذیرفتاری توضیح دهیم. [۲] و [۵]

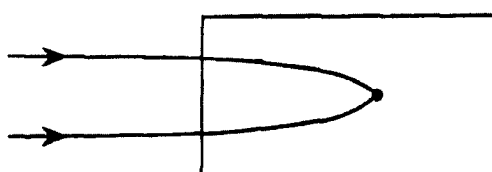
## فصل دوم:

پدیده های مؤثر در پاسخ غیرخطی نوری

## ۱-۲ اثرهای خودکنش

اولین اثر خودکنش خودکانونی<sup>۱</sup> می باشد. خودکانونی نور فرآیندی است که در آن یک پرتو شدید نور ویژگی های اپتیکی محیط را طوری تغییر می دهد که پرتو داخل این محیط در یک کانون جمع می شود. این اثر اغلب باعث تخریب نوری مواد شفاف می شود و یک عامل محدود کننده برای طراحی سیستم های لیزری توان بالا است. بعضی مواقع نیز سهم مهمی را در ایجاد فرآیند های فیزیکی در محیط دارد.

فرآیند خودکانونی به صورت شماتیکی در شکل (۱-۲) نشان داده شده است. در این شکل یک پرتو لیزر با توزیع شدت گاووسی بر یک محیط که دارای ضریب شکست  $n = n_0 + n_2 I$  است می تابد.



شکل (۱-۲) فرآیند خودکانونی

فرض کنیم ضریب شکست غیر خطی  $n_2 < 0$  باشد، مرکز پرتو گاووسی هنگام گذر از محیط غیر خطی ضریب شکست بزرگتری را نسبت به پیرامونش احساس می کند، لذا با سرعت کمتری از آن محیط گذشته و نسبت به لبه ها عقب می ماند. در نتیجه، جبهه موج تخت پرتوی اولیه تغییرات زیادی می یابد و به نظر می رسد که محیط نقش یک عدسی همگرا را ایفا کرده است. این به هم خوردگی همانند وجود یک عدسی است و هنگام انتشار پرتو از آنجایی که انتشار پرتوی نوری در جهت عمود بر جبهه موج است، به نظر می رسد پرتو توسط خودش کانونی شده است.

اگر محیط کوتاه باشد کانون آن در خارج محیط خواهد بود و اگر محیط بسیار طولانی باشد کانون در داخل جسم تشکیل می شود که اغلب منجر به تخریب محیط می گردد.

---

<sup>۱</sup>Self-focusing